

## پایش و تحلیل تطبیقی نقش خشکسالی هواشناسی بر تغییرات سطح ایستابی چاههای پیزومتری دشت مرند

برومند صلاحی<sup>۱</sup>، دانشیار اقلیم شناسی، گروه جغرافیا، دانشکده ادبیات و علوم انسانی، دانشگاه محقق اردبیلی، اردبیل، ایران.

مجید رضاوی بنفشه درق، استاد اقلیم شناسی، دانشکده جغرافیا و برنامه‌ریزی، دانشگاه تبریز، تبریز، ایران.

عبدالرضا واعظی، استادیار زمین شناسی، گروه زمین‌شناسی، دانشکده زمین‌شناسی، دانشگاه تبریز، تبریز، ایران.

مجتبی فریدپور، دانشجوی دکتری اقلیم شناسی، گروه جغرافیا، دانشکده ادبیات و علوم انسانی، دانشگاه محقق اردبیلی، اردبیل، ایران.

پذیرش نهایی: ۱۳۹۶/۰۹/۲۳

دریافت مقاله: ۱۳۹۶/۰۴/۱۵

### چکیده

در این پژوهش، دوره‌های متوالی خشکسالی هواشناسی و ژئوهیدرولوژیکی با استفاده از شاخص خشکسالی SPI و SWI در ۶ بازه زمانی (۶، ۹، ۱۲، ۱۸، ۲۴ و ۴۸ ماهه) در دشت مرند واقع در استان آذربایجان شرقی، بررسی شد. برای این منظور، از داده‌های هواشناسی (متوسط بارش ماهانه) ۷ ایستگاه باران سنجی در دوره آماری (۱۳۵۹-۹۱) و داده‌های ماهانه سطح آب ۲۳ چاه پیزومتری در دوره آماری (۱۳۸۰-۹۰) استفاده شد. نقشه‌های مربوطه با استفاده از نرم‌افزار Arc Gis و با روش کریجینگ تهیه و ترسیم شدند که پهنه‌های درگیر خشکسالی در منطقه را نمایان ساخت. همچنین شدیدترین خشکسالی و فراوانی نسبی خشکسالی‌های هواشناسی و آب زیرزمینی در طول دوره آماری به دست آمد. نتایج بررسی مقادیر SPI نشان داد که خشکسالی هواشناسی از نظر مکانی دارای روند مشخصی نمی‌باشد در حالی که خشکسالی آب‌های زیرزمینی به طور تصادفی در منطقه رخ نداده و تمرکز آن در غرب آذخوان بیش از شرق آن بوده است. جهت بررسی اثرات خشکسالی بر افت سطح ایستابی، بهترین همبستگی بین آن‌ها، ۰/۷۲۰ - با تأخیر زمانی ۵ ماهه به دست آمد که در سطح ۱ درصد معنی‌دار بوده و تأثیربازی منابع آب زیرزمینی را با یک تأخیر ۵ ماهه نمایان می‌سازد. همچنین نتایج بررسی داده‌های ماهانه سطح آب دشت مرند در دوره آماری (۱۳۸۰-۹۰) نشان داد که تراز آب زیرزمینی دشت دارای روند منفی بوده که با افت حدود ۲ متر مواجه بوده است.

واژگان کلیدی: خشکسالی هواشناسی، خشکسالی هیدرولوژیکی، شاخص SPI، شاخص SWI، دشت مرند.

## مقدمه

خشکسالی یک پدیده طبیعی است که در ارتباط با فقدان منابع آب در دسترس در یک منطقه جغرافیایی بزرگ می‌باشد ممکن است در طول یک دوره زمانی طولانی رخ دهد (Roosi, ۲۰۰۰). خشکسالی نسبت به دیگر مخاطرات طبیعی مانند سیکلون‌ها و سیلاب‌ها به عنوان یک پدیده خاموش شناخته می‌شود (WMO, ۲۰۰۶). از جمله حوادث طبیعی که از نظر فراوانی و تعداد، بیش از سایر حوادث بر جمعیت‌های انسانی تأثیر داشته است، پدیده خشکسالی می‌باشد (Kogan, ۲۰۰۰؛ محمد نیا قرایی و همکاران، ۱۳۷۹). از طرفی خسارات ناشی از پدیده خشکسالی به صورت خزندگ بوده و کمتر به خسارات ساختاری منجر می‌شود، به همین دلیل امدادرسانی در هنگام وقوع این پدیده بسیار پیچیده‌تر از سایر حوادث طبیعی می‌باشد (Peters, ۲۰۰۳). بیان و همکاران (Bhuiyan, et.al., ۲۰۰۶) (به نقل از محمدی و همکاران، ۱۳۹۱) با بهره‌گیری از شاخص‌های بارش استاندارد، سطح آب استاندارد و شرایط پوشش گیاهی بر مبنای بر داده‌های زمینی و سنجش از دور، به بررسی وضعیت خشکسالی منطقه آراوالی<sup>۱</sup> هند پرداختند. نتایج این تحقیق نشان داد که سطح آب زیرزمین در دشت آراوالی از زمانی به زمان دیگر تغییر کرده و با جهت غربی و شرقی حوضه ارتباط دارد (محمدی و همکاران، ۱۳۹۱). اکرامی و همکاران (Ekrami, et.al., ۲۰۱۳) با مطالعه اثر خشکسالی اقلیمی بر منابع آب زیرزمینی به این نتیجه رسیدند که با افزایش پایه زمانی SPI همبستگی آن با GRI افزایش می‌یابد و تأخیر زمانی بین خشکسالی اقلیمی با آب‌شناختی در دشت یزد-اردکان یک تا دو سال است. ازینه و همکاران (Ezzine, et.al., ۲۰۱۴) با به کارگیری شاخص بارش استاندارد، شاخص سطح آب استاندارد و شاخص استاندارد پوشش گیاهی<sup>۲</sup> به بررسی خشکسالی در منطقه نیمه‌خشک مدیترانه‌پرداختند. نتایج همبستگی خوبی بین SPI و SWI نشان داد. ساهو و همکاران (Sahoo, et.al., ۲۰۱۵) در تحقیقی به بررسی خشکسالی در دو ناحیه محروم موات<sup>۳</sup> و دهار<sup>۴</sup> در هندوستان پرداختند. نتایج این تحقیق دو دوره خشکسالی شدید در مناطق مذکور را در سال‌های ۲۰۰۲ و ۲۰۰۸ نشان می‌دهد. بوگدان و کاتارزینا (Bogdan and Katarzyna, ۲۰۱۷) در تحقیقی بر روی رودخانه ویستولا<sup>۵</sup> (مرکز لهستان) اثبات نمودند که خشکسالی هواشناسی با استفاده از شاخص SPI بر خشکسالی هیدرولوژیکی با استفاده از شاخص SWI تأثیر دارد.

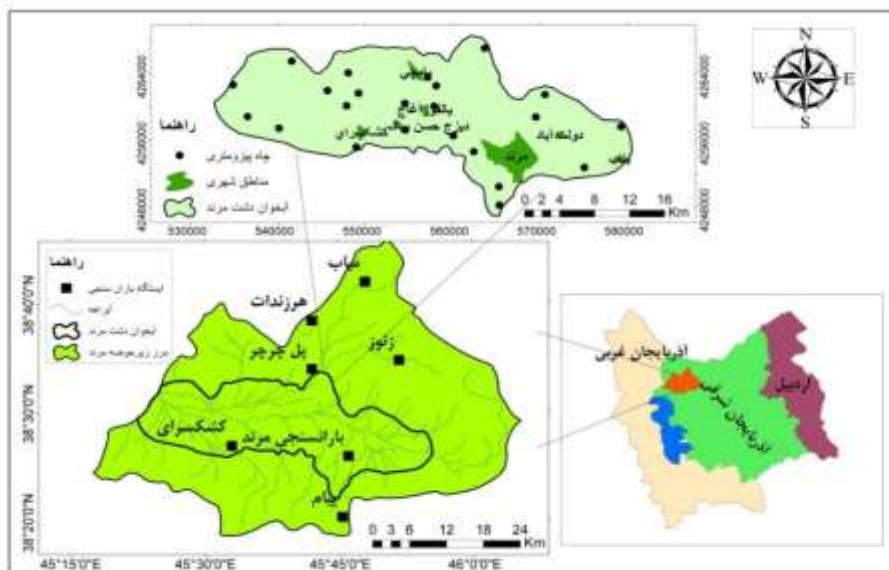
در سطح کشور با توجه به رخداد خشکسالی، به عنوان ویژگی جدایی‌ناپذیر آب و هوای ایران، تأثیر این پدیده در آب‌های زیرزمینی در حوضه‌ها و دشت‌های مختلف بررسی شده است. محمدی و شمسی‌پور (۱۳۸۲) تأثیر خشکسالی‌ها را بر آب‌های زیرزمینی دشت‌های شمال همدان بررسی کردند. این تحقیق هم نشان می‌دهد که خشکسالی با تأخیر ۹ ماهه بر روی آب‌های زیرزمینی اثر می‌گذارد. احمدی آخورمه و همکاران (۱۳۹۴) به بررسی خشکسالی آب زیرزمینی در مرودشت استان فارس پرداختند. در این تحقیق از دو شاخص GRI و SWI استفاده شده است. نتایج به اثبات خشکسالی آب زیرزمینی در شمال و مرکز منطقه انجامیده است. بختیاری عنایت و همکاران (۱۳۹۴)، در تحقیقی به بررسی تأخیر زمانی آثار خشکسالی اقلیمی (SPI) بر خشکسالی آب‌شناختی (GRI) دشت هشتگرد پرداختند. نتایج این تحقیق نشان داده است که از نظر خشکسالی آب‌شناختی، پیزومترهای دشت هشتگرد در سه گروه متفاوت گروه‌بندی می‌شوند. کریمی و همکاران (۱۳۹۵) در پژوهشی به بررسی خشکسالی هواشناسی و هیدرولوژیکی در حوضه آبخیز قره‌سو پرداختند. در این

<sup>۱</sup>-Aravalli<sup>۲</sup>- Index Vegetation Standard<sup>۳</sup>- Mewat<sup>۴</sup>- Dhar<sup>۵</sup>- Vistula

تحقیق از شاخص‌های RAI و SDI استفاده شده است. نتایج این تحقیق نشان‌دهنده تأخیر یک تا دو ساله در خشکسالی هیدرولوژیکی منطقه دارد. زینالی و همکاران (۱۳۹۶) در تحقیقی به بررسی تأثیر خشکسالی هواشناسی بر خصوصیات کمی و کیفی آب‌های زیرزمینی دشت مرند در آذربایجان شرقی پرداختند. نتایج این تحقیق نشان داده است که خشکسالی و کاهش بارندگی باعث افزایش برداشت از سطح آبخوان دشت مرند شده است. این روند بر میزان شاخص‌های کیفی آب مانند EC, SAR, CL تأثیر منفی گذاشته که باعث قرار گرفتن کیفیت آب دشت مرند در کلاس خیلی شور برای مصارف کشاورزی شده است. در تحقیق حاضر سعی شده است دوره‌های خشکسالی هواشناسی و آب زیرزمینی را در بازه‌های زمانی ماهانه و سالانه و همچنین پهنه‌های درگیر خشکسالی در دشت مرند را شناسایی کرده و تأخیر زمانی بین دو شاخص خشکسالی موردنظر محاسبه گردد. لذا می‌طلبد در این زمینه تحقیقات گستردگتری صورت گرفته تا زوایای تازه‌ای از پایش خشکسالی و اثرات آن بر کمیت منابع آب‌های زیرزمینی آشکار گردد.

### داده‌ها و روش کار

منطقه مورد مطالعه در این تحقیق دشت مرند با مختصات ۴۵ درجه و ۱۵ تا ۵۰ دقیقه طول شرقی و ۳۷ درجه و ۷ دقیقه تا ۳۸ درجه و ۵۶ دقیقه عرض شمالی، به همراه ۷ ایستگاه باران‌سنجدی در زیر حوضه آبریزی به همین نام در شمال غرب ایران و در ۶۰ کیلومتری شمال تبریز می‌باشد. وسعت کل زیر حوضه مرند  $1941/54$  کیلومترمربع می‌باشد که حدوداً  $517/42$  کیلومترمربع آن را دشت (پهنه آبرفتی) مرند تشکیل می‌دهد. دو رودخانه اصلی این زیر حوضه، زیلبرچای و زنجوزچای می‌باشند که پس از اتصال به رودخانه قطور چای و سپس ارس، به حوضه آبریز دریای خزر می‌ریزند.



شکل ۱: نقشه منطقه مورد مطالعه، محدوده حوضه و موقعیت ایستگاه‌ها و جاه‌های پیزومتری

در این تحقیق از داده‌های هواشناسی (متوسط بارش ماهانه) ۷ ایستگاه باران‌سنجدی از سازمان هواشناسی آذربایجان شرقی در دوره آماری (۱۳۵۹-۹۱)، داده‌های ماهانه سطح آب ۲۳ چاه پیزومتری از شرکت آب منطقه‌ای در دوره آماری (۹۰-۹۱) تهیه و پس از مرتب کردن داده‌ها در محیط Excel، نوافص آماری را با استفاده از رگرسیون خطی در محیط نرم‌افزار Minitab را برطرف و آماده تحلیل گردید (مشخصات ایستگاه‌ها و همچنین شدیدترین خشکسالی‌ها در جداول ۲ و ۳).

شاخص بارندگی استاندارد شده (SPI) توسط مک کی و همکاران (McKee, et.al., ۱۹۹۳، ۱۹۹۵) ارائه شد. این شاخص برای بازه های زمانی مختلف قابل محاسبه است و جهت ارائه هشدار و کمک به ارزیابی شدت خشکسالی اهمیت زیادی دارد. با توجه به اینکه آب های زیرزمینی و جریان آب های سطحی در ایجاد نابهنجاری های درازمدت در بارش مؤثر می باشد، لذا شاخص SPI اساساً برای بازه های زمانی ۳، ۶، ۹، ۱۲، ۱۸، ۲۴ و ۴۸ ماهه محاسبه می شود. نمایه SPI به عنوان مناسب ترین نمایه برای تحلیل خشکسالی و همچنین ترسالی بهویژه تحلیل های مکانی شناخته می شود (رضیئی و همکاران، ۱۳۸۶: ۸۵). مقادیر مثبت بیانگر بارش بیشتر از مقدار متوسط و مقادیر منفی بیانگر بارش کمتر از مقدار متوسط بارش می باشد و چون شاخص SPI نرمال است اقلالیم خشک و مرطوب را می توان با یک روش نشان داد (ساری، ۱۳۹۰: ۷۶). این مقیاس های زمانی متفاوت، اثرات ویژه خشکسالی را بر روی قابلیت دسترسی به منابع آبی مختلف بیان می کند و دقت محاسبات را بالا می برد. شاخص SPI در مطالعه تأثیرات کمبود بارش بر روی آب های زیرزمینی، ذخایر و منابع آب سطحی، رطوبت خاک و جریان آبراهه ها، کارایی مناسبی دارد (قلی زاده، ۱۳۸۳: ۸۲). به صورت خلاصه معادله محاسباتی این شاخص به صورت زیر می باشد:

$$SPI = \frac{X_{ij} - X_{im}}{\sigma} \quad (1)$$

در رابطه بالا  $\sigma$  انحراف معیار بوده و  $X_{ij}$  بارندگی فصلی در ایستگاه بارندگی  $i$ ، با  $j$  تعداد مشاهده، میانگین درازمدت بارندگی است. در ادامه پنج طبقه از جدول شاخص SPI اشاره شده است (جدول ۱). جهت ارزیابی دوره های خشکسالی در دشت مرند از شاخص سطح آب استاندارد شده (SWI<sup>۱</sup>) استفاده شد. شاخص سطح آب استاندارد شده توسط بویان و همکاران (Bhuiyan, et.al., ۲۰۰۶) ارائه شده و هدف از آن بررسی نوسانات و آنومالی های سطح آب زیرزمینی بوده است. معادله محاسباتی این شاخص به صورت زیر می باشد:

$$SWI = \frac{W_{ij} - W_{im}}{\sigma} \quad (2)$$

در این رابطه همانند رابطه بارش استاندارد شده  $\sigma$  انحراف معیار جامعه آماری مورد تحلیل می باشد و  $W_{ij}$  عبارت است از متوسط فصلی سطح آب در چاه مورد مطالعه  $i$ ، با  $j$  تعداد مشاهده، عبارت از میانگین درازمدت است. جدول ۱ شاخص های SPI و SWI را در پنج طبقه نشان می دهد.

جدول ۱: طبقه بندی شدت شاخص های SPI و SWI

طبقه خشکسالی	مقادیر عددی SPI	مقادیر عددی SWI
خشکسالی بسیار شدید	< -۲	>= ۲
خشکسالی شدید	-۱/۹۹ تا -۱/۵	۱/۹۹ تا ۱/۵
خشکسالی متوسط	-۱/۴۹ تا -۱	۱/۴۹ تا ۱
خشکسالی ملایم	-۰ تا -۰/۹۹	۰ تا ۰/۹۹
بدون خشکسالی	< ۰/۰	< ۰/۰

۱ - Standardize Water Level Index

یکی از موارد قابل بررسی در شاخص‌های SPI و SWI، محاسبه تداوم و فراوانی مطلق خشکسالی‌ها می‌باشد. منظور از مدت یا تداوم خشکسالی، ماههای متولی با مقادیر منفی SPI و مثبت SWI می‌باشد. در تحقیق حاضر به منظور بررسی تداوم‌های شدید چه از نظر طول و چه از نظر بزرگی آن، تعداد ماههای مواجه با خشکسالی یا مقادیر منفی SPI و مثبت SWI محاسبه و بزرگی آن تعیین گردید. فراوانی مطلق خشکسالی یکی دیگر از ویژگی‌های مورد بررسی در این‌گونه مطالعات می‌باشد. این ویژگی عبارت از تعداد ماههای مواجه با خشکسالی در طول مدت آماری مورد تحقیق می‌باشد. همچنین از تقسیم ماههای چهار خشکسالی بر کل ماههای مورد مطالعه فراوانی نسبی خشکسالی در هر ایستگاه به دست می‌آید.

به منظور بررسی وابستگی سطح آب زیرزمینی در دشت مرند و شاخص خشکسالی هواشناسی در منطقه مورد مطالعه با استفاده از روش همبستگی پیرسون در محیط نرم‌افزار SPSS ۲۲ استفاده گردید. به همین منظور مقادیر ۶ SPI تا ۴۸ ماهه با مقادیر SWI در همین بازه زمانی به‌طور همزمان و در تأخیرهای ۱ تا ۱۲ ماهه با استفاده از ضریب همبستگی پیرسون که مبتنی بر کوواریانس دو متغیر و انحراف معیار آن‌ها تنظیم شده است، در سطوح معنی‌داری ۱ و ۵ درصد با استفاده از رابطه زیر مورد بررسی قرار گرفت (Khan et all, ۲۰۰۸) (رابطه ۳):

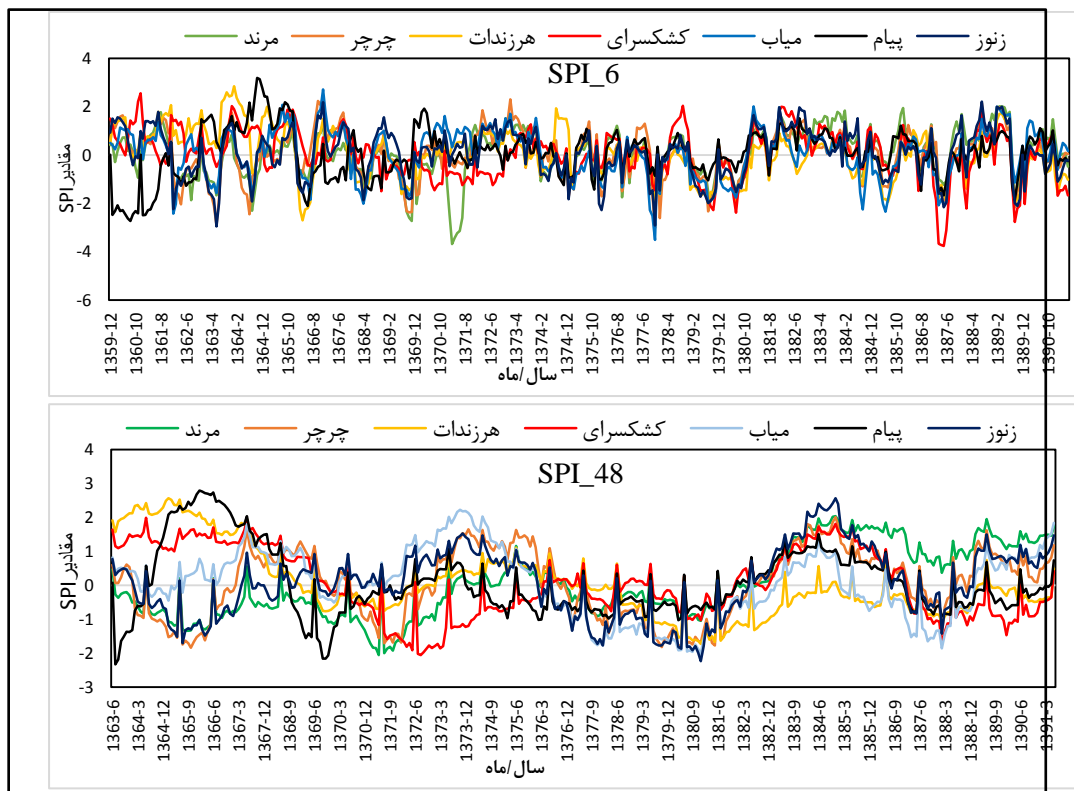
$$p_{xy} = \frac{\text{cov}(x, y)}{\sigma_x \sigma_y} \quad (3)$$

در این رابطه  $p_{xy}$ : ضریب همبستگی بین شاخص بارش استاندارد شده و سطح آب استاندارد شده؛  $X$ : مقدار بارش استاندارد در یک ماه خاص و  $Y$ : سطح ایستابی در همان ماه است. برای محاسبه شاخص‌های خشکسالی هواشناسی و آب زیرزمینی از نرم‌افزار<sup>۱</sup> DIP استفاده شد. جهت بررسی سری زمانی شاخص‌ها و همچنین انجام تحلیل‌های آماری از نرم‌افزارهای Minitab و Excel و همچنین افزونه XLStat استفاده شد. ادامه پس از مشخص کردن دوره‌های خشکسالی هواشناسی و آب زیرزمینی به منظور فرایند درون‌یابی در نرم‌افزار Arc Gis، از عملگر Geostatistical Analyst استفاده شد.

## شرح و تفسیر نتایج

به منظور تشخیص دوره‌های خشکسالی، از شاخص SPI در بازه‌های زمانی ۶، ۹، ۱۲، ۲۴ و ۴۸ ماهه برای ایستگاه‌های منتخب در منطقه استفاده شد. شکل ۲ نتایج شاخص خشکسالی SPI را در مقیاس ۶ ماهه به عنوان مقیاس کوتاه‌مدت و ۴۸ ماهه، به عنوان مقیاس بلندمدت را نشان می‌دهد.

<sup>۱</sup> -Drought Indices Pakage

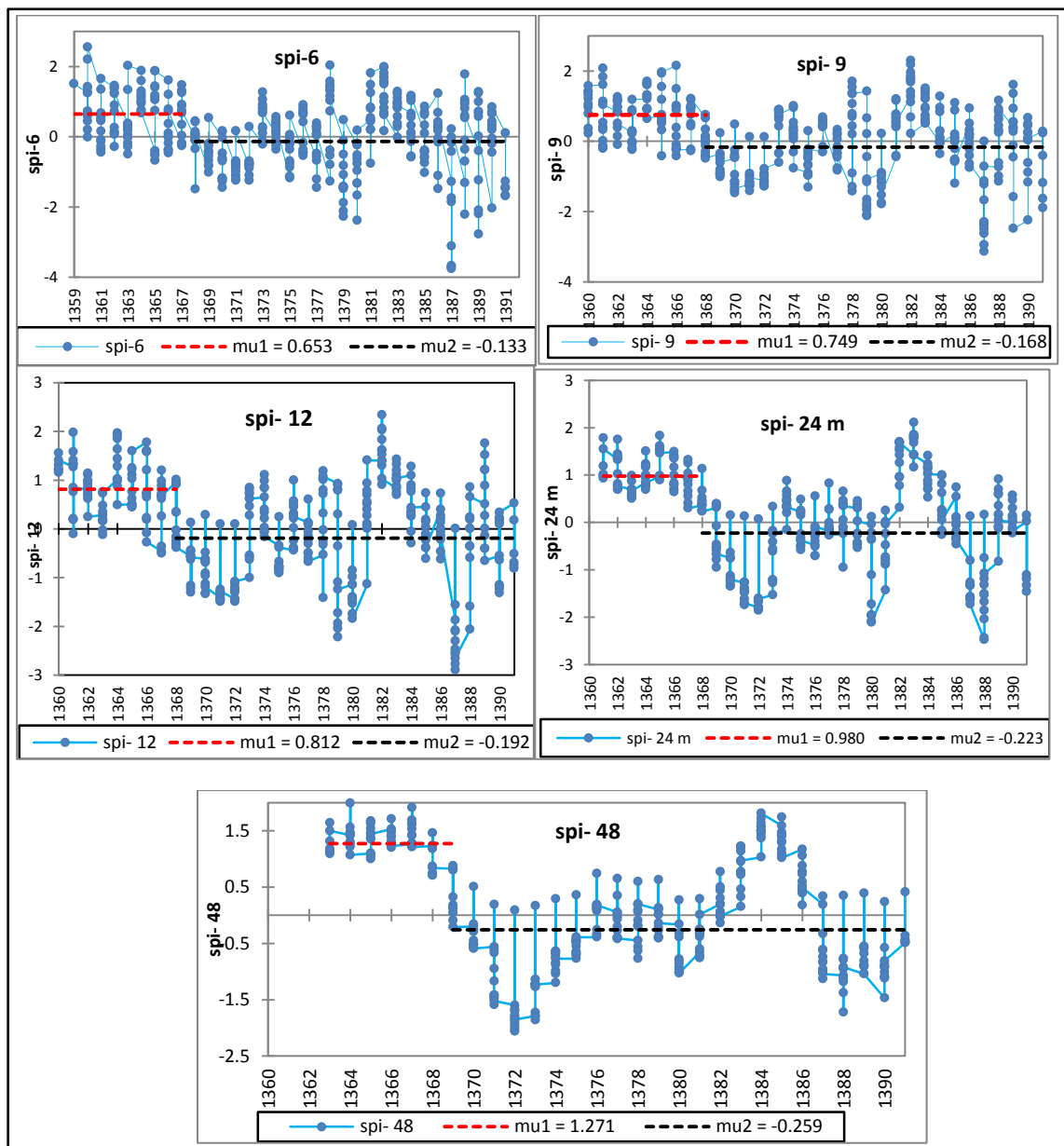


شکل ۲: دوره‌های خشکسالی و ترسالی در مقیاس ۶ و ۴۸ ماهه در ایستگاه‌های منتخب

خشکسالی در مقیاس کوتاه‌مدت دارای نوسان و شدت‌های بالا می‌باشد و چنانچه خشکسالی تداوم داشته باشد در مقیاس‌های بلندمدت با شدت کم و تداوم زیاد خود را نشان می‌دهد. در این پژوهش با توجه به بازه زمانی در دسترس داده‌های سطح آب زیرزمینی در دشت مرند و با توجه به هدف این مقاله، به تفسیر نتایج شاخص SPI از سال ۱۳۸۰ تا پایان دوره آماری پرداخته می‌شود. همان‌طوری که در شکل ۲ نیز قابل مشاهده است شدیدترین خشکسالی در مقیاس ۶ ماهه در ایستگاه کشکسرای در مردادماه ۱۳۸۷ اتفاق افتاده است ( $SPI = -3,76$ ) و اگر شروع این خشکسالی را از مهرماه ۱۳۸۶ یعنی زمانی که مقادیر SPI منفی شده‌اند، در نظر گرفته شود تا مردادماه ۱۳۸۸ همزمان با ثبت شدن مقادیر SPI به طول انجامیده است که در مجموع طول دوره خشکسالی ۲۳ ماه محاسبه شده است. در مقیاس ۴۸ ماهه مقدار شدت خشکسالی در این ایستگاه کم و به تداوم دوره افزوده شده است به طوری که خشکسالی از فروردین‌ماه ۱۳۸۷ شروع شده و تا پایان دوره آماری به مدت ۵۳ ماه یعنی تا شهریورماه ۱۳۹۱ ادامه داشته است.

در ادامه به منظور بررسی سری زمانی خشکسالی، ایستگاه کشکسرای به عنوان نمونه بررسی می‌گردد (شکل ۳) و در جدول ۲ شدیدترین خشکسالی و فراوانی نسبی خشکسالی برای تمامی ایستگاه قابل مشاهده می‌باشد. با توجه به نتایج شکل ۳ مشاهده می‌شود که یک دوره ترسالی متوسط از ابتدای دوره آماری تا سال‌های ۶۹-۷۰ در منطقه حاکم بود است، به‌طوری‌که در انتهای این دوره با کاهش ناگهانی بارندگی (سال‌های ۶۹-۷۰)، یک دوره کم بارشی تا پایان سری زمانی مورد مطالعه شکل‌گرفته است. با توجه به نتایج SPI حتی بارندگی‌های سال‌های ۱۳۸۲ تا ۱۳۸۴ نیز این روند کم بارشی و را نتوانسته‌اند جبران کنند. چنانچه نتایج سری زمانی شاخص SPI در ایستگاه کشکسرای را به دو دوره ترسالی و خشکسالی تقسیم نماییم، مشاهده می‌شود که در مقیاس‌های زمانی کوتاه‌مدت و بلندمدت ۶ و ۴۸ ماهه مقدار میانگین این شاخص برای دوره ترسالی (۱۳۵۹ تا ۱۳۶۹)  $SPI_6 = 0,653$  و  $SPI_{48} = 1,271$  و برای دوره کم بارشی (۱۳۷۰ تا ۱۳۹۰)  $SPI_6 = 1,271$  و  $SPI_{48} = 0,653$ .

میانگین شاخص SPI در کل دوره در مقیاس زمانی ۶ ماهه برابر با  $-0.133$  و در مقیاس زمانی ۴۸ ماهه برابر با  $-0.259$  می‌باشد. با توجه به نتایج شکل ۳ هرچقدر از بازه زمانی ۶ ماهه به بازه زمانی ۴۸ ماهه نزدیک شویم بر میزان میانگین شاخص SPI افزوده شده به طوری که می‌توان چنین نتیجه گرفت که عدد میانگین در مقیاس‌های زمانی بلندمدت حاصل جمع مقادیر SPI در مقیاس‌های زمانی کوتاه‌تر است که ممکن است بالاتر و یا پایین‌تر از نرمال قرار بگیرند. به طور کلی هرچقدر بازه زمانی خشکسالی افزایش یابد، تعداد خشکسالی‌ها کم و بر تداوم آن‌ها افزوده می‌شود. تداوم خشکسالی در بازه‌های زمانی بلندمدت، برای بررسی اثرات خشکسالی بر منابع آب و نوسان سطح ایستابی چاههای پیزومتری کاربرد دارد.

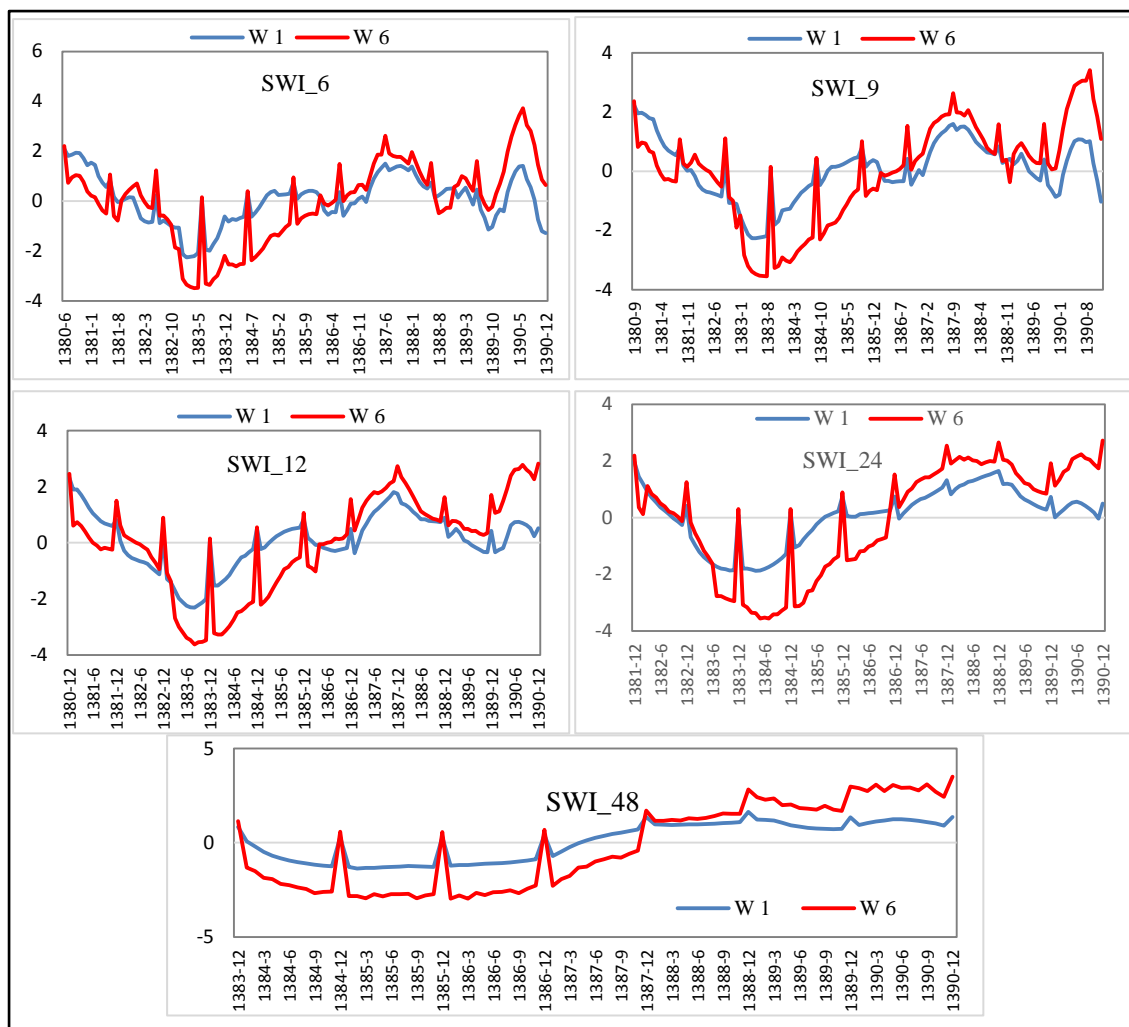


شکل ۳: وضعیت خشکسالی‌ها و ترسالی‌های ایستگاه نمونه (کشکسرای) در مقیاس‌های زمانی مختلف

جدول ۲: شدیدترین مقدار مشاهده شده و فراوانی نسبی خشکسالی های هواشناسی در منطقه

مقیاس های زمانی خشکسالی هواشناسی (ماهانه)						ویژگی های خشکسالی	نام ایستگاه
۴۸	۲۴	۱۸	۱۲	۹	۶		
-۱,۸۴	-۲,۲۱	-۲,۳۷	-۲,۷۳	-۲,۸۴	-۳,۰۲	SPI	پل چرچ
دی ماه ۱۳۶۵	فروردین ماه ۱۳۷۰	تیر ماه ۱۳۶۳	فروردین ماه ۱۳۷۰	اسفند ماه ۱۳۶۹	بهمن ماه ۱۳۷۷	ماه اسال	
۴۵	۴۹	۴۹	۴۸	۴۶	۴۳	درصد فراوانی نسبی	
-۲,۲۳	-۳,۱۳	-۳,۲۶	-۳,۲۷	-۳,۰۵	-۲,۷۳	SPI	پیام
مهر ماه ۱۳۶۳	مهر ماه ۱۳۶۱	شهریور ماه ۱۳۶۱	اردیبهشت ماه ۱۳۶۱	اسفند ماه ۱۳۶۰	آبان ماه ۱۳۶۰	ماه اسال	
۵۶	۴۹	۴۴	۴۶	۴۵	۴۴	درصد فراوانی نسبی	
-۲,۲۴	-۲,۴۴	-۲,۳۹	-۲,۳۸	-۲,۴۱	-۲,۹۵	SPI	زنوز
اسفند ماه ۱۳۸۰	اسفند ماه ۱۳۸۰	دی ماه ۱۳۸۰	بهمن ماه ۱۳۷۹	دی ماه ۱۳۷۹	شهریور ماه ۱۳۶۳	ماه اسال	
۴۵	۴۹	۴۹	۴۹	۴۵	۴۲	درصد فراوانی نسبی	
-۲,۰۶	-۲,۴۸	-۲,۴	-۲,۸۹	-۳,۱۳	-۳,۷۶	SPI	کشکسرا
آبان ماه ۱۳۷۲	فروردین ماه ۱۳۸۸	بهمن ماه ۱۳۸۷	دی ماه ۱۳۸۷	شهریور ماه ۱۳۸۷	مرداد ماه ۱۳۸۷	ماه اسال	
۴۹	۴۴	۴۲	۴۲	۴۵	۴۵	درصد فراوانی نسبی	
-۲,۰۶	-۲,۴۹	-۲,۱۱	-۲,۴۹	-۳,۴۸	-۳,۶۸	SPI	مرند
مرداد ماه ۱۳۷۱	خرداد ماه ۱۳۷۱	آذر ماه ۱۳۷۱	خرداد ماه ۱۳۷۱	شهریور ماه ۱۳۷۱	خرداد ماه ۱۳۷۱	ماه اسال	
۵۲	۵۱	۴۸	۴۸	۴۵	۴۱	درصد فراوانی نسبی	
-۲,۰۳	-۲,۳۶	-۲,۵۴	-۲,۲۴	-۲,۳۱	-۳,۵۱	SPI	میاب
اسفند ماه ۱۳۸۰	آبان ماه ۱۳۸۰	آبان ماه ۱۳۸۰	اردیبهشت ماه ۱۳۸۰	بهمن ماه ۱۳۷۹	بهمن ماه ۱۳۷۷	ماه اسال	
۴۳	۴۵	۴۸	۴۳	۴۲	۴۲	درصد فراوانی نسبی	
-۱,۷۳	-۲,۳۲	-۲,۲۲	-۲,۲	-۲,۱۹	-۲,۷	SPI	هرزن دات
اسفند ماه ۱۳۸۰	آبان ماه ۱۳۸۰	مرداد ماه ۱۳۸۰	آذر ماه ۱۳۷۹	مهر ماه ۱۳۶۶	تیر ماه ۱۳۶۶	ماه اسال	
۵۶	۴۸	۴۹	۴۹	۴۶	۴۳	درصد فراوانی نسبی	

در این بخش به منظور بررسی نوسان سطح ایستابی چاههای پیزومتری از شاخص SWI در بازه‌های زمانی ۶، ۹، ۱۲، ۲۴ و ۴۸ ماهه استفاده شد. شکل ۴ نتایج سری زمانی SWI برای پیزومتر قره قوم (W1) به عنوان نماینده ورودی دشت و پیزومتر غرب مرند (W6) به عنوان نماینده خروجی دشت و جدول ۳ شدیدترین خشکسالی و فراوانی نسبی خشکسالی در دشت مرند را نشان می‌دهند. همان‌طور که در سری زمانی SWI قابل مشاهده است، در بازه‌های زمانی کوتاه‌مدت نوسان مقادیر خشکسالی زیاد بوده ولی در بازه‌های زمانی بلندمدت با افزایش تداوم مقادیر SWI می‌توان زمان شروع افزایش برداشت از سفره‌های آب زیرزمینی را تشخیص داد. به طوری که در سال‌های ۱۳۸۲ تا ۱۳۸۴ که میزان بارش در منطقه مناسب بوده است، سری زمانی شاخص SWI دارای مقادیر منفی بوده که نشان‌دهنده کاهش برداشت و یا پایداری سطح ایستابی است ولی با شروع خشکسالی هواشناسی از سال ۱۳۸۵ و تداوم آن تا پایان دوره آماری مشاهده می‌شود که افزایش برداشت از سفره‌های آب زیرزمینی شدت یافته و در بازه‌های زمانی ۶ تا ۴۸ ماهه این روند افزایش برداشت کاملاً مشهود می‌باشد.



شکل ۴: وضعیت خشکسالی‌ها و ترسالی‌های پیزومتر نمونه (قره قوم) در مقیاس‌های زمانی مختلف

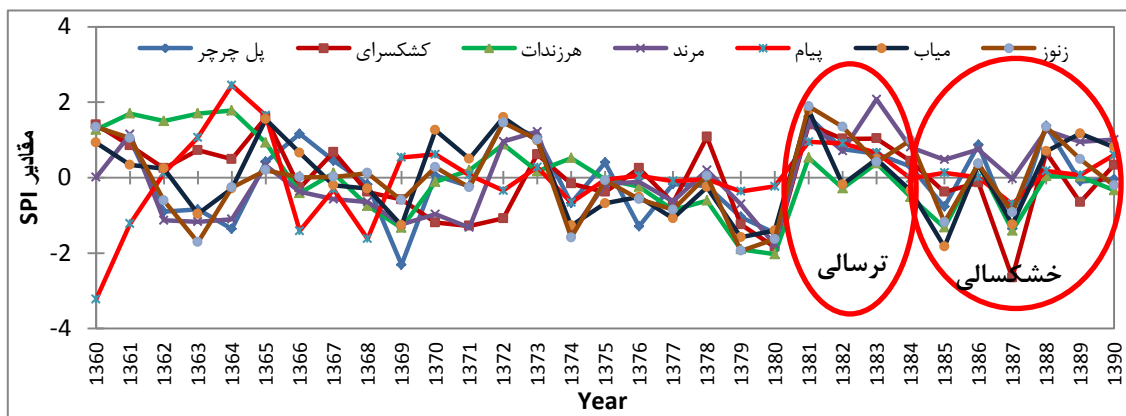
جدول ۳: شدیدترین مقدار مشاهده شده و فراوانی نسبی خشکسالی آب‌های زیرزمینی در منطقه

مقیاس‌های زمانی خشکسالی آب‌های زیرزمینی (ماهانه)						ویژگی‌های خشکسالی	نام استگاه و کد جاه
۴۸	۲۴	۱۸	۱۲	۹	۶		
۱,۶۳	۱,۶	۲	۲,۳۱	۲,۶۴	۲,۶۵	SWI شدیدترین مقدار	قره قوم W ۱
۱۳۸۸ ماه استفاده	۱۳۸۱ ماه استفاده	۱۳۸۱ ماه شهریور ماه استفاده	۱۳۸۰ ماه شهریور ماه استفاده	۱۳۸۰ ماه شهریور ماه استفاده	۱۳۸۰ ماه شهریور ماه استفاده		
۵۸	۶۹	۵۷	۵۶	۵۷	۵۹		
۱,۸۳	۱,۸۵	۱,۷	۲,۹۹	۲,۶۴	۲,۶۵	SWI شدیدترین مقدار	کندالج W ۲
۱۳۸۰ ماه استفاده	۱۳۸۱ ماه استفاده	۱۳۸۱ ماه شهریور ماه استفاده	۱۳۸۰ ماه شهریور ماه استفاده	۱۳۸۰ ماه شهریور ماه استفاده	۱۳۸۰ ماه شهریور ماه استفاده		
۵۹	۵۹	۵۷	۵۶	۵۲	۵۳		
۲,۴۸	۲,۲۱	۱,۹۶	۲,۱۵	۲,۰۷	۱,۹۴	SWI شدیدترین مقدار	اسداغی W ۳
۱۳۸۰ ماه استفاده	۱۳۸۰ ماه استفاده	۱۳۸۰ ماه شهریور ماه استفاده					
۵۱	۵۱	۵۳	۵۵	۵۳	۵۰		
۲,۶۱	۲,۶۱	۲,۷۳	۲,۶۴	۲,۶۱	۲,۶۷	SWI شدیدترین مقدار	بهار W ۴
۱۳۸۲ ماه بهمن	۱۳۸۲ ماه بهمن	۱۳۸۲ ماه تیر ماه	۱۳۸۲ ماه فروردین ماه	۱۳۸۱ ماه بهمن ماه	۱۳۸۱ ماه اسفند ماه		
۶۶	۵۱	۵۱	۵۲	۵۳	۵۰		
۲,۴۶	۲,۴۳	۲,۰۱	۲,۲۱	۲,۲۴	۲,۴۴	SWI شدیدترین مقدار	کنکسراي W ۵
۱۳۸۰ ماه استفاده	۱۳۸۰ ماه مرداد	۱۳۸۰ ماه تیر	۱۳۸۰ ماه اردیبهشت	۱۳۸۹ ماه فروردین	۱۳۸۰ ماه مرداد		
۴۰	۶۴	۴۵	۴۶	۴۶	۵۰		
۲,۱۴	۲,۲۲	۲,۰۶	۲,۳۱	۲,۳۹	۲,۳۱	SWI شدیدترین مقدار	غرب مرند ۱ W ۶
۱۳۸۰ ماه استفاده	۱۳۸۰ ماه استفاده	۱۳۸۰ ماه شهریور	۱۳۸۰ ماه اسفند	۱۳۸۰ ماه شهریور	۱۳۸۰ ماه شهریور		
۴۸	۶۴	۶۵	۵۲	۶۲	۵۹		

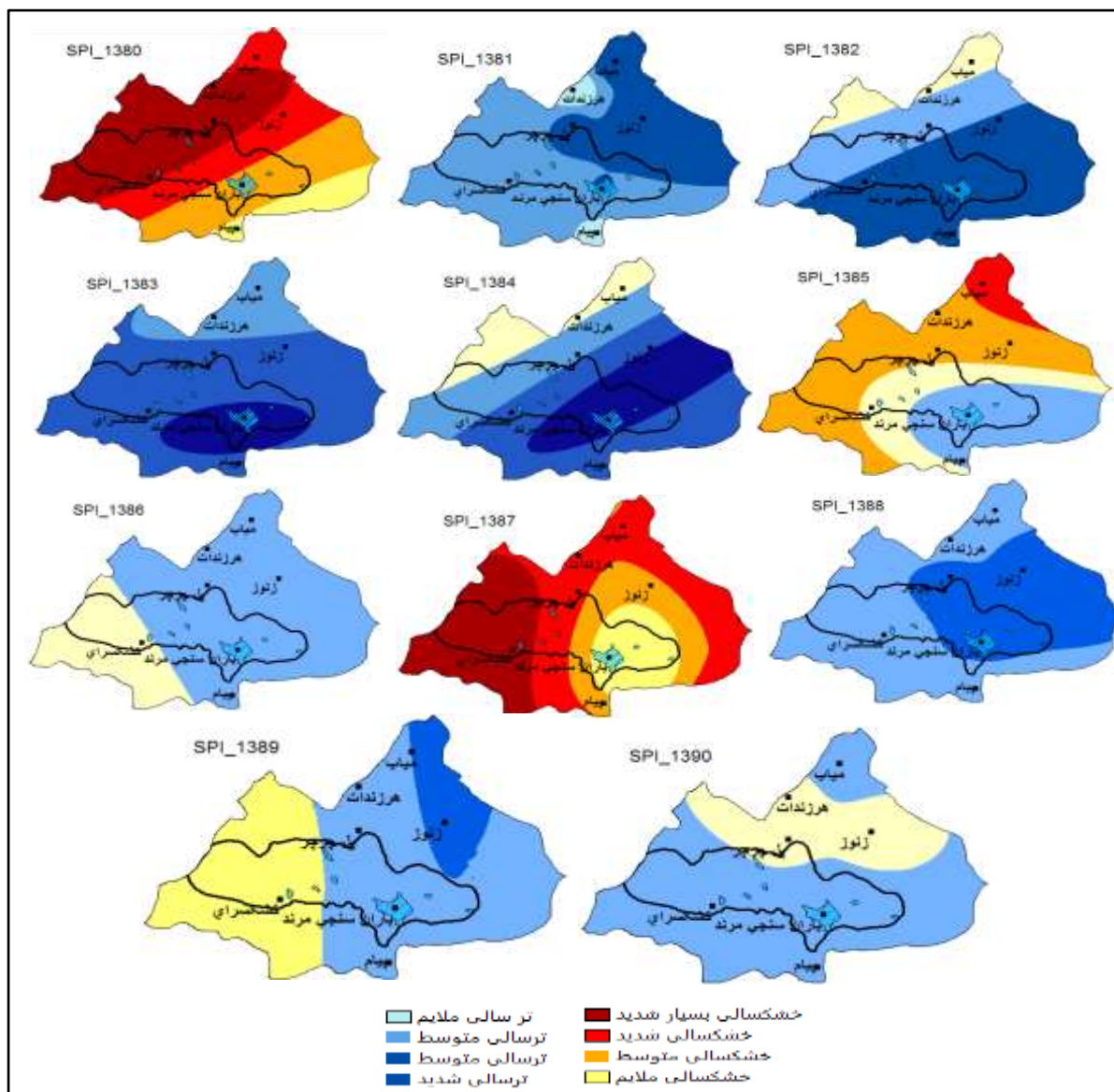
## ادامه جدول ۳: شدیدترین مقدار مشاهده شده و فراوانی نسبی خشکسالی آب های زیرزمینی در منطقه

مقاس های زمانی خشکسالی آب های زیرزمینی (ماهانه)						ویژگی های خشکسالی	۴.۵
۴۸	۲۶	۱۸	۱۲	۹	۶	SWI	شدیدترین مقدار ماه اسال
۱۳۹۳	۱.۹۹	۱.۹۸	۲	۱.۹۷	۱.۹۶	SWI	حسین بیک W ۷
۱۳۸۳	اسفندماه	۱۳۸۲	شهریورماه	۱۳۸۱	اسفندماه	۱۳۸۰	آذرماه
۴۸	۴۶	۴۵	۴۵	۴۶	۴۶	SWI	درصد فراوانی نسبی
۱۹	۱.۸۴	۱.۸۴	۱.۷۲	۱.۷۲	۱.۷۵	شدیدترین مقدار ماه اسال	غرب مرند W ۸
۱۳۹۰	اسفندماه	۱۳۹۰	شهریورماه	۱۳۹۰	اسفندماه	۱۳۹۰	آذرماه
۵۲	۵۰	۵۲	۵۵	۵۶	۵۷	SWI	درصد فراوانی نسبی
۲۰۹	۲.۵۷	۲.۱۶	۲.۳۹	۲.۳۷	۲.۳	شدیدترین مقدار ماه اسال	غرب ابرغان W ۹
۱۳۸۳	اسفندماه	۱۳۸۱	اسفندماه	۱۳۸۰	آخرماه	۱۳۸۱	شهریورماه
۵۲	۴۷	۵۲	۵۱	۵۱	۵۴	SWI	درصد فراوانی نسبی
۱۰۹	۱.۴۵	۱.۴۸	۱.۳۹	۱.۴	۱.۴۳	شدیدترین مقدار ماه اسال	دولت آباد W ۱۰
۱۳۹۰	اسفندماه	۱۳۹۰	شهریورماه	۱۳۹۰	اسفندماه	۱۳۹۰	آذرماه
۶۱	۶۰	۶۱	۶۱	۶۱	۶۱	SWI	درصد فراوانی نسبی
۲۰۴	۲.۴۶	۲.۵۱	۲.۴۴	۲.۴۷	۲.۵۱	شدیدترین مقدار ماه اسال	قرمزی قشلاق W ۱۱
۱۳۹۰	اسفندماه	۱۳۹۰	شهریورماه	۱۳۹۰	اسفندماه	۱۳۹۰	آذرماه
۴۸	۴۷	۴۵	۴۵	۴۶	۴۶	SWI	درصد فراوانی نسبی
۲۰۶	۲.۵۷	۲.۵۹	۲.۵۶	۲.۵۹	۲.۶۱	شدیدترین مقدار ماه اسال	بالقوز آجاع W ۱۲
۱۳۹۰	اسفندماه	۱۳۹۰	شهریورماه	۱۳۹۰	اسفندماه	۱۳۹۰	آذرماه
۵۲	۵۲	۵۰	۵۴	۵۰	۵۰	SWI	درصد فراوانی نسبی
۱۰۴	۱.۷۴	۱.۷۴	۱.۶۸	۱.۶۹	۱.۶۸	شدیدترین مقدار ماه اسال	اراضی مرکبد W ۱۳
۱۳۹۰	اسفندماه	۱۳۹۰	شهریورماه	۱۳۹۰	اسفندماه	۱۳۹۰	آذرماه
۶۱	۶۰	۶۰	۶۴	۶۱	۶۱	SWI	درصد فراوانی نسبی
۲۵	۲۷	۲۶۲	۲۶۹	۲۷۶	۲۹۲	شدیدترین مقدار ماه اسال	قراچه محمد W ۱۴
۱۳۹۰	اسفندماه	۱۳۹۰	شهریورماه	۱۳۹۰	اسفندماه	۱۳۹۰	آذرماه
۴۴	۴۰	۳۷	۴۰	۳۹	۳۹	SWI	درصد فراوانی نسبی
۲۰۲	۲.۵۷	۲.۵	۲.۰۵	۲.۵۳	۲.۵	شدیدترین مقدار ماه اسال	ساری تبه W ۱۵
۱۳۸۱	اسفندماه	۱۳۸۱	شهریورماه	۱۳۸۱	پیمن ماه	۱۳۸۱	آذرماه
۳۵	۳۹	۳۷	۳۶	۳۵	۳۵	SWI	درصد فراوانی نسبی
۲۰۱۴	۲۰۰۶	۱.۹۳	۲.۱۸	۲.۲۴	۲.۵۷	شدیدترین مقدار ماه اسال	محمد قاطران W ۱۶
۱۳۹۰	اسفندماه	۱۳۹۰	پیمن ماه	۱۳۹۰	اسفندماه	۱۳۹۰	شهریورماه
۴۸	۵۰	۴۷	۴۸	۴۶	۵۰	SWI	درصد فراوانی نسبی
۲	۱.۸۲	۱.۸۲	۱.۷۵	۱.۷۳	۱.۶۸	شدیدترین مقدار ماه اسال	محمد گله بان W ۱۷
۱۳۹۰	اسفندماه	۱۳۹۰	شهریورماه	۱۳۹۰	اسفندماه	۱۳۹۰	آذرماه
۴۸	۵۵	۵۱	۵۵	۵۲	۵۲	SWI	درصد فراوانی نسبی
۲	۲.۱۶	۲.۳	۲.۰۳	۲.۰۳	۲.۰۵	شدیدترین مقدار ماه اسال	قرخلار W ۱۸
۱۳۹۰	اسفندماه	۱۳۹۰	شهریورماه	۱۳۹۰	اسفندماه	۱۳۹۰	آذرماه
۵۲	۶	۵۷	۵۵	۵۶	۵۷	SWI	درصد فراوانی نسبی
۱.۹۵	۱.۸۵	۱.۸۳	۱.۸۱	۱.۷۵	۱.۶۶	شدیدترین مقدار ماه اسال	پامچی W ۱۹
۱۳۹۰	اسفندماه	۱۳۹۰	شهریورماه	۱۳۹۰	اسفندماه	۱۳۹۰	آذرماه
۴۸	۵۷	۵۷	۵۵	۵۶	۵۸	SWI	درصد فراوانی نسبی
۱.۹۹	۱.۷۶	۱.۷۷	۱.۷۸	۱.۱۸	۱.۱۴	شدیدترین مقدار ماه اسال	اراضی پامچی W ۲۰
۱۳۸۷	اسفندماه	۱۳۸۵	شهریورماه	۱۳۸۶	اسفندماه	۱۳۸۵	آذرماه
۶۱	۶۹	۷۱	۷۰	۷۵	۷۶	SWI	درصد فراوانی نسبی
۱.۷۶	۱.۸۴	۱.۷۶	۱.۸۵	۱.۷۵	۱.۸۷	شدیدترین مقدار ماه اسال	شرق گله بان W ۲۱
۱۳۹۰	اسفندماه	۱۳۹۰	شهریورماه	۱۳۹۰	اسفندماه	۱۳۹۰	آذرماه
۶۱	۶۳	۶۲	۶۰	۵۸	۵۸	SWI	درصد فراوانی نسبی
۱.۷۸	۱.۶۶	۱.۶۶	۱.۶۱	۱.۵۶	۱.۵۶	شدیدترین مقدار ماه اسال	قمیش آغل W ۲۲
۱۳۹۰	اسفندماه	۱۳۹۰	شهریورماه	۱۳۹۰	اسفندماه	۱۳۹۰	آذرماه
۶۱	۶۰	۵۸	۵۷	۵۹	۵۷	SWI	درصد فراوانی نسبی
۲۱	۲.۰۳	۲.۲	۲.۰۵	۲.۰۲	۲.۰۲	شدیدترین مقدار ماه اسال	چر چر W ۲۳
۱۳۸۳	اسفندماه	۱۳۸۱	اسفندماه	۱۳۸۱	اسفندماه	۱۳۸۱	آذرماه
۵۸	۵۳	۵۲	۵۷	۵۸	۶۱	SWI	درصد فراوانی نسبی

در این بخش ابتدا مقادیر سالانه خشکسالی هواشناسی و آب زیرزمینی جهت تشخیص پهنه‌های درگیر خشکسالی در حوضه آبریز مرند و همچنین دشت مرند، در نرمافزار GIS ترسیم گردید. شکل ۵ و ۶ مقادیر سالانه خشکسالی را نشان می‌دهد. با توجه به نقشه‌های پهنه‌بندی خشکسالی هواشناسی می‌توان چنین استنباط نمود که در شرق حوضه نسبت به دیگر مناطق حوضه بیشتر در معرض خشکسالی‌های شدید قرار دارد. به طوری که در خشکسالی‌های فراغیر سال‌های ۱۳۸۰ و ۱۳۸۷، شدیدترین خشکسالی‌ها در منطقه شرقی حوضه آبریز مرند رخداده است. شناخت پهنه‌های درگیر خشکسالی می‌تواند به برنامه‌ریزی جهت مدیریت خشکسالی کمک نماید. با توجه به نتایج شکل ۵ و همچنین با توجه به هدف این پژوهش مشاهده می‌شود که از سال ۱۳۸۰ که داده‌های آب زیرزمینی موجود بوده تا سال ۱۳۹۰، دو دوره متمایز تراسالی و خشکسالی رخداده است. طی سال‌های ۱۳۸۴ تا ۱۳۹۲ بارندگی بالاتر از نرمال در منطقه رخداده است و از سال ۱۳۸۵ به بخصوص خشکسالی فراغیر ۱۳۸۷ تا پایان دوره آماری، یک دوره خشکسالی در منطقه حاکم بوده است. خشکسالی فراغیر در منطقه به صورت محسوس بر سطح ایستابی آب زیرزمینی دشت مرند تأثیر گذاشته و با توجه به نتایج اشکال ۷ و ۸ این تغییرات قابل مشاهده می‌باشد.

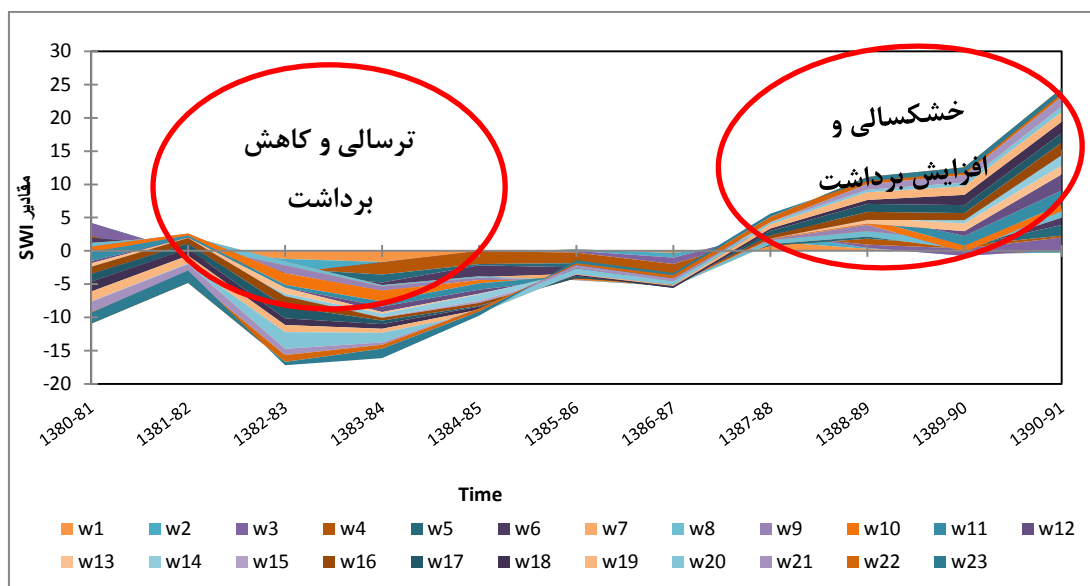


شکل ۵: سری زمانی خشکسالی هواشناسی در حوضه آبریز مرند

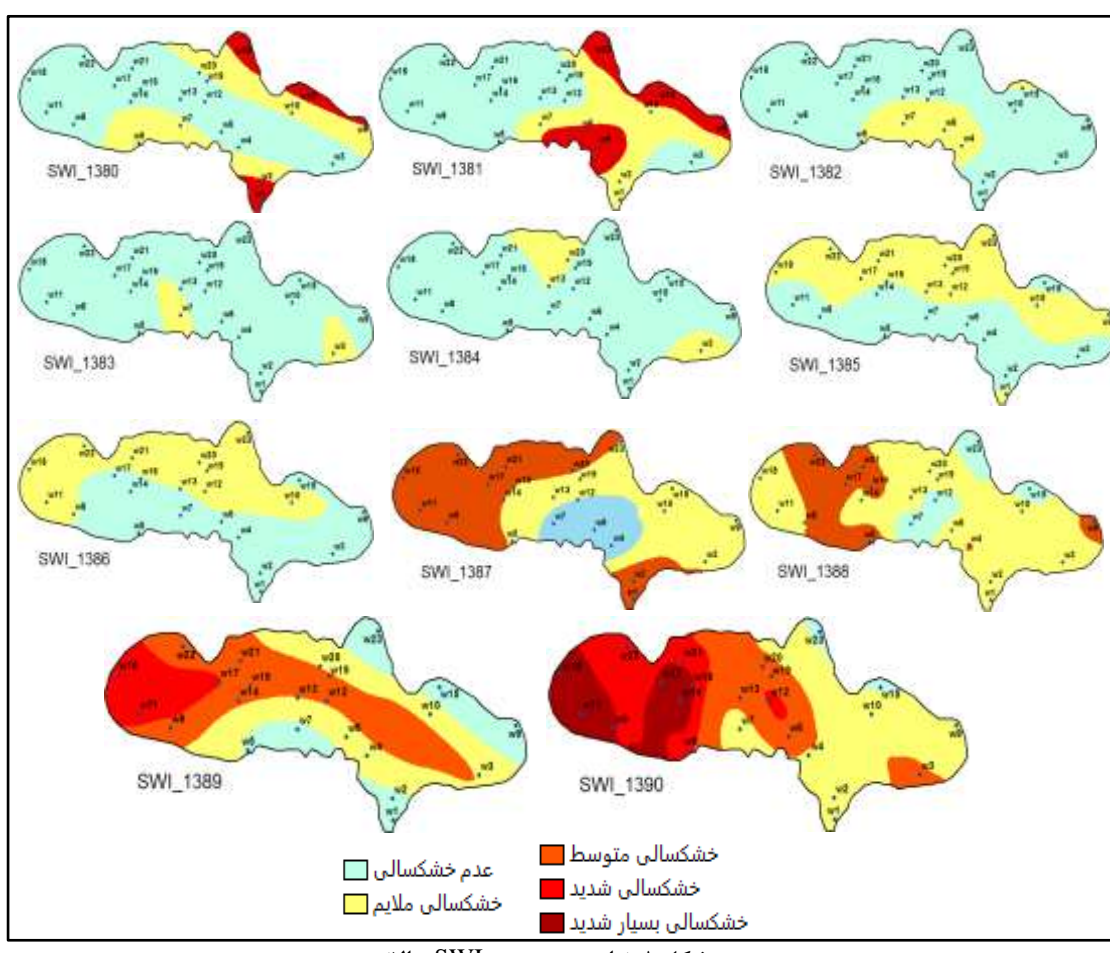


شکل ۶: نتایج پهنه‌بندی SPI سالانه

نتایج به دست آمده در شکل ۷ و ۸ نشان می‌دهد که سطح ایستابی در دشت مرند تحت تأثیر خشکسالی هواشناسی و کاهش بارندگی در منطقه می‌باشد. به طوری در شکل ۷ نتایج سری زمانی خشکسالی سالانه با استفاده از شاخص SWI نشان‌دهنده پایداری سطح آب زیرزمینی در دوره زمانی ۱۳۸۴ تا ۱۳۸۲ در اثر بارندگی مناسب در منطقه و روند افزایش برداشت از سال ۱۳۸۷ در اثر بروز خشکسالی شدید در منطقه تا پایان دوره آماری می‌باشد. در شکل ۷ جهت نشان دادن تغییرات سطح ایستابی و شناخت بهتر سال‌های مشترک خشکسالی در تمامی چاههای پیزومتری از نمودار Stacked Area در محیط اکسل استفاده شد که مقادیر SPI را بزرگ‌تر و با اغراق بیشتری نشان می‌دهد.



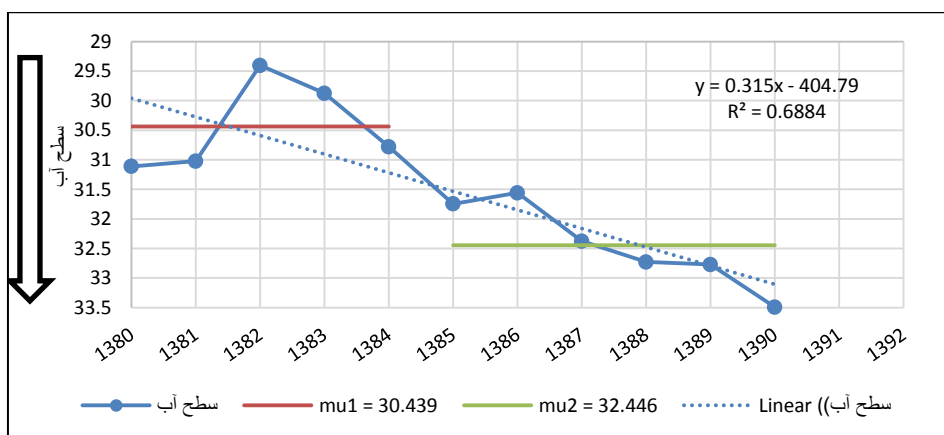
شکل ۷: سری زمانی خشکسالی آب‌های زیرزمینی در دشت مرن



شکل ۸: نتایج پهنگندی SWI سالانه

همان‌طور که در شکل ۸ مشخص می‌باشد، نتایج خشکسالی سالانه آب‌های زیرزمینی در محیط GIS بهصورت پهن‌بندی جهت شناخت مناطق مستعد خشکسالی ترسیم گردید. با توجه به تأثیر غیرمستقیم و همراه با تأخیر زمانی بارندگی بر سطح ایستابی مشخص شد که در دوره‌هایی که بارندگی در منطقه مناسب بوده است روند برداشت از آبخوان کم و در سال‌های ۱۳۸۶-۸۷ که خشکسالی شدید در منطقه رخداده است، روند افزایش برداشت از غرب آبخوان که خروجی آبخوان نیز می‌باشد، افزایش یافته و تا پایان دوره آماری با توجه به جبران نشدن نیاز آبی منطقه توسط بارندگی این روند ادامه دارد.

به‌طورکلی با بررسی نقشه‌های سالانه شاخص‌های بارش استاندارد و سطح آب استاندارد می‌توان چنین استنباط نمود که روند تغییرات سطح ایستابی آب‌های زیرزمینی با تغییرات خشکسالی و ترسالی هواشناسی در منطقه هم‌خوانی داشته، بنابراین افت سطح ایستابی دشت مرند می‌تواند تا حدود زیادی تحت تأثیر خشکسالی هواشناسی باشد و با توجه به این نتیجه افزایش برداشت از سفره‌های آب زیرزمینی در طی دوره آماری مورد مطالعه، جهت جبران کم‌آبی رخداده است. از ویژگی‌های بارز دشت مرند وجود دو فصل بارشی متفاوت طی سال است. یک دوره مرطوب که از اواسط بهمن آغازشده و تا اوایل اردیبهشت ادامه دارد و یک دوره خشک که در بقیه سال به چشم می‌خورد. انطباق فصل خشک با دوره رویش گیاهان زراعی، مصرف آب به‌منظور جبران نیاز آبی گیاهان را ضروری می‌کند. این کمبود عمده‌ای از منابع آب زیرزمینی جبران می‌شود. افزایش برداشت طی سال‌های اخیر و به‌طور محسوس بعد از وقوع خشکسالی‌های هواشناسی در منطقه، تعادل بین ورودی و خروجی دشت به‌هم‌خورده و کاهش ذخیره مخزن را سبب گردیده است (شکل ۹).



شکل ۹: هیدروگراف سالانه آب زیرزمینی دشت مرند (سال‌های ۱۳۸۰-۹۰)

با توجه به هیدروگراف سالانه سطح ایستابی در آبخوان دشت مرند در شکل ۹، می‌توان روند سطح ایستابی آب‌های زیرزمینی در این منطقه را به دو دوره متفاوت، قبل و بعد از خشکسالی هواشناسی شدید و فراغیر ۱۳۸۷ تقسیم نمود. خشکسالی هواشناسی سال ۱۳۸۷ درواقع از سال ۱۳۸۵ شروع شده و در این سال بهصورت فراگیر در کل منطقه اتفاق افتاده است. هیدروگراف سالانه آب زیرزمینی به‌خوبی تأثیر بارندگی بر سطح ایستابی را نشان می‌دهد و نسبت به بارندگی واکنش نشان داده است. با توجه به اینکه، افزایش اعداد سطح ایستابی نشان‌دهنده کاهش آب در چاهه‌ای پیزومتری می‌باشد، می‌توان اختلاف سطح آب را قبل و بعد از خشکسالی ۱۳۸۷ به میزان ۲ متر ارزیابی نمود. رگرسیون خطی بین سطح آب زیرزمینی و طول دوره آماری با مقدار  $R^2 = 0.6884$  بروآورد شده است که روند کاهشی آب زیرزمینی در دشت مرند را توجیه می‌کند.

در ادامه جهت تعیین ارتباط بین بارش‌های ماهانه و نوسانات ماهانه سطح آب زیرزمینی دشت مرند، ضرایب همبستگی بین این دو پارامتر محاسبه شد (جدول ۴). در بررسی همبستگی‌ها مشخص شد که تأثیرپذیری سطح آب زیرزمینی از خشکسالی به صورت همزمان دارای ضرایب همبستگی و سطح اطمینان پایینی می‌باشد. از جمله دلایل ضعیف بودن ضرایب همبستگی بین بارش و سطح آب زیرزمینی به صورت همزمان، به طور کلی می‌توان به دو دلیل اشاره نمود: نخست اینکه آب ناشی از نزولات جوی دارای یک تأخیر زمانی برای رسیدن به لایه‌های منابع آب زیرزمینی است و دوم اینکه تأثیر عوامل انسانی مانند برداشت از آب زیرزمینی با میزان بارش ماهانه دارای آهنگ منظمی نمی‌باشد (محمدی و همکاران، ۱۳۹۱). ضرایب همبستگی بین سطح آب زیرزمینی و بارش‌های یک تا ۷ ماه قبل در نرمافزار SPSS به دست آمد. جهت برآورد همبستگی ابتدا ماه مربوط به خشکسالی هواشناسی با همان ماه مربوط به خشکسالی آب زیرزمینی روبروی هم قرار گرفته که با مشاهده عدم همبستگی همزمان می‌باشد ماههای جلوتر مربوط به خشکسالی آب زیرزمینی مورد آزمایش قرار گیرد. این روند تا زمانی که بالاترین همبستگی به دست آید ادامه پیدا کرد و درنهایت نتایج همبستگی در جدول (۴) ارائه شده است. ضرایب به دست آمده نشان دهنده این است که بین بارش پنج ماه قبل و سطح آب زیرزمینی بالاترین ضرایب همبستگی وجود دارد که این همبستگی در سطح خطأ (معنی‌داری) ۱ درصد معنی‌دار است.

جدول ۴: ضرایب همبستگی بین بارش‌های ماهانه و سطح آب زیرزمینی

بارندگی ماهانه شش ماه قبل	بارندگی ماهانه پنج ماه قبل	بارندگی ماهانه چهار ماه قبل	بارندگی ماهانه سه ماه قبل	بارندگی ماهانه دو ماه قبل	بارندگی ماهانه یک ماه قبل	بارندگی ماهانه همزمان	بارندگی ماهانه
-۰/۶۶۷**	-۰/۷۲۰**	-۰/۷۱۲**	-۰/۶۳۵*	-۰/۲۹۰*	-۰/۲۴۴**	-۰/۱۹۹*	ضرایب همبستگی
۱۲۱	۱۲۱	۱۲۱	۱۲۱	۱۲۱	۱۲۱	۱۲۱	تعداد مشاهدات

\*، \*\*، \*\*\* به ترتیب معنی‌داری در سطح ۱ و ۵ درصد

### نتیجه‌گیری

شاخص‌های SPI و SWI این امکان را به وجود می‌آورد که در یک دوره ثابت از اطلاعات محاسبه شده به وسیله این شاخص‌ها، زمان شروع و پایان خشکسالی‌های هواشناسی و آب‌های زیرزمینی و همچنین شدت، مدت و فراوانی خشکسالی‌ها محاسبه شود. این مطلب در مطالعات Hayes و همکاران (۱۹۹۸) در آمریکا و Bhuiyan و همکاران (۲۰۰۶) نیز به انجام رسیده است. نقشه‌های پهنه‌بندی خشکسالی (اشکال ۵ و ۸) که با استفاده از مقادیر SPI و SWI در محیط Arc Gis به دست آمد نشان داد که خشکسالی‌های هواشناسی با توجه به مشخصات خشکسالی‌ها، از نظر مکانی دارای روند مشخصی نمی‌باشند درحالی که خشکسالی‌های آب‌های زیرزمینی به صورت تصادفی در منطقه رخ نداده و تمرکز آن‌ها در نقاط مشخص از آبخوان که دارای تنش‌های بارشی و انسانی (از نظر برداشت بی‌رویه و بیش از حد مجاز) می‌باشند، ایجاد شده است. با توجه به اینکه افزایش برداشت از سفره‌های آب زیرزمینی جهت جبران کمبود بارش و نیاز آبی منطقه بوده است، می‌توان رابطه خشکسالی هواشناسی بر کاهش سطح آب زیرزمینی در دشت مرند را توجیه نمود و با توجه به نتایج به دست آمده، تأخیر زمانی این رابطه می‌تواند در مدیریت بحران و مدیریت ریسک در آینده بسیار مفید باشد. این موضوع با مطالعات ایمانی و اسفندارانی (۱۳۹۰) و پورمحمدی و همکاران (۱۳۹۶) مطابقت دارد.

در ایجاد همبستگی و ارتباط بین بارش و افت سطح ایستایی، بهترین همبستگی آن‌ها، -۰/۷۲- با تأخیر زمانی ۵ ماهه است که در سطح ۱ درصد معنی‌دار بوده و تأثیرپذیری منابع آب زیرزمینی دشت مرند را با یک تأخیر ۵ ماهه نمایان

می‌کند. شمسی‌پور (۱۳۸۲) در دشت همدان به یک تأخیر ۹ ماهه بین بارش و سطح ایستابی و دست یافت. همچنین ملکی نژاد و سلیمانی مطلق (۱۳۹۰) با استفاده از دو شاخص SWI و SPI در حوضه چگلوندی، به تأخیر زمانی یکساله. محمدی‌قلعه‌نی و همکاران (۱۳۹۱) در دشت ساوه به تأخیر ۵ ماهه به نتایج مشابهی دست یافتند و محمدی و همکاران (۱۳۹۱) در دشت اراک، تأثیرپذیری منابع آب زیرزمینی از خشکسالی را با یک تأخیر دو ماهه بدست آوردند. هرچند عامل آب و هوایی بیشترین تأثیر را در افت سطح ایستابی طی سال‌های اخیر داشته، ولی این بحران حاصل مجموعه عواملی از جمله برداشت‌های بی‌رویه است که خود معلول خشکسالی هواشناسی می‌باشد؛ بنابراین چون روند تغییرات سطح ایستابی با تغییرات خشکسالی هم‌خوانی دارد، می‌توان نتیجه گرفت که افت سطح ایستابی دشت مرند عمده‌تاً تحت تأثیر خشکسالی می‌باشد.

به نظر می‌رسد پایش مداوم وضعیت خشکسالی و نظارت قوی بر میزان برداشت، بهویژه در خشکسالی‌های شدید و طولانی، برای جلوگیری از افت شدید سطح آب‌های زیرزمینی در دشت مرند امری بسیار ضروری است. این امر می‌تواند با بهینه‌سازی در مصرف آب در بخش‌های مختلف، بهویژه کشاورزی انجام شود. همچنین در بخش کشاورزی با توجه به اینکه آب موردنیاز آبیاری در این دشت اکثر از منابع آب زیرزمینی است، استفاده از سیستم آبیاری قطره‌ای در کمک به کاهش افت سطح ایستابی مؤثر می‌باشد. همچنین پیشنهاد می‌شود که در خشکسالی‌ها (بهویژه با تأخیر زمانی ۵ ماهه بر منابع آب زیرزمینی دشت مرند) نسبت به میزان و نوع برداشت از آب‌های زیرزمینی هشدارها و تمهیدات لازم به عمل آید.

## منابع

- احمدی آخورمه، مریم؛ احمد نوحه‌گر، مهدی سلیمانی مطلق و مجید طابی‌سمیرمی. ۱۳۹۴. بررسی خشکسالی آب زیرزمینی با استفاده از شاخص‌های SWI و GRI در آبخوان محدوده مطالعاتی مرودشت خرامه استان فارس. *فصلنامه علمی پژوهشی مهندسی آبیاری و آب*، سال ششم، ۲۱: ۱۰۵-۱۱۷.
- ایمانی، مهناز و علی طالبی اسفندارانی. ۱۳۹۰. بررسی آثار خشکسالی بر تغییرات سطح سفره آب زیرزمینی دشت بهاباد یزد با استفاده از شاخص‌های SPI، GRI، چهارمین کنفرانس مدیریت منابع آب ایران، تهران، دانشگاه صنعتی امیرکبیر.
- بختیاری عنایت، بهرام؛ آرش ملکیان و علی سلاجمقه. ۱۳۹۴. آنالیز همیستگی پایه زمانی و تأخیر زمانی بین خشکسالی اقلیمی و خشکسالی آب‌شناختی دشت هشتگرد. *تحقیقات آب و خاک ایران*، شماره ۴، ۴۶: ۶۰۹-۶۱۶.
- پورمحمدی، سمانه؛ محمدتقی دستورانی، هادی جعفری، علیرضا مساح بوانی، مسعود گودرزی، فاطمه باقری و محمدحسین رحیمیان. ۱۳۹۶. بررسی اثرات خشکسالی هواشناسی و هیدرولوژیکی بر بیلان آب زیرزمینی دشت توپسرکان. *مهندسی و مدیریت آبخیز*، ۹: ۵۷-۴۶.
- رضیئی، طیب؛ پیمان دانش کارآراسته، روحانگیز اختری و بهرام ثقفیان. ۱۳۸۶. بررسی خشکسالی‌های هواشناسی در استان سیستان و بلوچستان با استفاده از نمایه SPI و مدل زنجیره مارکف. *تحقیقات منابع آب ایران*، ۳۵: ۲۵-۳.
- زینالی، بتول؛ مجتبی فریدپور و صیاد اصغری سراسکانرونده. ۱۳۹۶. بررسی تأثیر خشکسالی هواشناسی و هیدرولوژیکی بر ویژگی‌های کمی و کیفی آب‌های زیرزمینی (مطالعه موردي دشت مرند). *مدیریت حوزه آبخیز*، ۱۴: ۱۷۷-۱۸۷.
- ساري، الهه. ۱۳۹۰. پایش خشکسالی هواشناسی به روشن SPI و تأثیر آن بر کشت گندم دیم در استان آذربایجان شرقی. *پایان‌نامه کارشناسی ارشد. دانشکده علوم انسانی و اجتماعی. دانشگاه تبریز*.

- قلیزاده، محمدحسین. ۱۳۸۳. پیش‌بینی و پیش‌آگاهی خشکسالی در غرب ایران. پایان‌نامه دکتری اقلیم‌شناسی. دانشگاه تربیت معلم تهران. تهران.
- کریمی، مهشید؛ کاکا شاهدی و خباب خسروی. ۱۳۹۵. بررسی خشکسالی هواشناسی و هیدرولوژیکی با استفاده از شاخص‌های خشکسالی در حوضه آبخیز قره‌سو. *فیزیک زمین و فضا*، ۴۲(۱): ۱۷۰-۱۵۹.
- محمدی قلعه‌نی، مهدی؛ کیومرث ابراهیمی و شهاب عراقی نژاد. ۱۳۹۱. ارزیابی تأثیر عوامل آب و هوایی بر افت منابع آب زیرزمینی (مطالعه موردی: آبخوان دشت ساوه). *مجله دانش آب و خاک*، ۲۱(۲): ۹۳-۱۰۸.
- محمدی، حسین مراد؛ علی‌اکبر شمسی‌پور. ۱۳۸۲. تأثیر خشکسالی‌های اخیر در افت منابع آب‌های زیرزمینی دشت‌های شمال همدان. *فصلنامه پژوهش‌های جغرافیایی*، ۴۵: ۱۳۰-۱۱۵.
- ملکی نژاد، حسین؛ مهدی سلیمانی مطلق. ۱۳۹۰. بررسی شدت خشکسالی‌های هواشناسی و هیدرولوژیک در حوضه چغلوندی. *مجله پژوهش آب ایران*، ۵(۹): ۷۲-۶۱.
- محمدی، محسن؛ حمیدرضا مرادی و مهدی وفاخواه. ۱۳۹۱. توزیع مکانی و ارتباط بین خشکسالی‌های هواشناسی و آب‌های زیرزمینی در دشت اراك. *فصلنامه جغرافیایی طبیعی*، ۱۵(۵): ۸۴-۷۷.
- محمد نیا قرایی؛ سهراب، ناصر جاودانی خلیفه، سهیلا جوانمرد، لیلی خزانه‌داری و محمود خسروی. ۱۳۷۹. بررسی شاخص ارزیابی و امکان‌سنجی کاربرد شاخص شدت خشکسالی پالمر در ایران. *مجموعه مقالات کنفرانس خشکسالی کرمان*. Bhuiyan, C.; R. P. Singh, and F.N. Kkogan. ۲۰۰۶. Monitoring Drought Dynamics in the Aravalli Region (India) using Different Indices based on Ground and Remote Sensing data. *International Journal of Applied Earth Observation and Geoinformation*, ۸: ۲۸۹-۳۰۲. DOI ۱۰.۱۰۱۶/j.jag.۲۰۰۶.۰۳.۰۰۲.
- Bogdan, B.; K. Kubiak-Wójcicka. ۲۰۱۷. Impact of meteorological drought on hydrological drought in Toruń (central Poland) in the period of ۱۹۷۱–۲۰۱۰. *Journal of Water and Land Development*. No. ۳۲ p. ۳-۱۲. DOI: ۱۰.۱۵۱۵/jwld-۲۰۱۷-۰۰۰۱.
- Ekrami, M., H. Malekinezhad., and M. R. Ekhtesasi. ۲۰۱۳. Evaluation of Meteorological drought and Hydrological Drought Impacts on Ground Water Resource. *Iran-Watershed Management Science & Engineering*. ۷ (۲۰).
- Ezzine, H.; A. Bouziane, and D. Quasar. ۲۰۱۴. Seasonal comparisons of meteorological and agricultural drought indexes in Morocco using open short time series data. *Journal of Applied Earth Observation and Geo-Information*. ۲۶, ۳۶-۴۸. DOI.org/10.1016/j.jag.2013.05.005
- Khan, S.; H. F. Gabriel and T. Rana. ۲۰۰۸. Standard precipitation index to track drought and assess impact of rainfall on water tables in irrigation areas. *Irrigation Drainage System*. ۲۲: ۱۵۹-۱۷۷.
- Kogan, F. N. ۲۰۰۰. Contribution of remote sensing to drought early warning in early warning systems for drought preparedness and drought management, ed. D.A. Wilhite and D.A. Wood. ۷۵-۸۷. Geneva: World Meteorological Organization.
- McKee B.T.; N. J. Doesken, and J. Kleist. ۱۹۹۳. The Relationship of Drought Frequency and Duration to Time Scales, ۸th Conference on Applied Climatology, Anaheim CA. American Meteorological Society, ۱۷-۲۲: ۱۷۹-۱۸۴.
- Peters, E.; P. J. J. F. Torfs, H. A. J. Van Lanen, and G. Bier. ۲۰۰۳. Propagation of drought through groundwater-a new approach using linear reservoir theory. *Hydro Processes* ۱۷: ۳۰۲۳-۳۰۴۰.
- Rossi, G. ۲۰۰۰. Drought mitigation measures: a comprehensive framework. In: Voght JV, Somma F (Eds) *Drought and drought mitigation in Europe*. Kluwer, Dordrecht.

Sahoo, R. N.; Dipanwita Dutta, M. Khanna, N. Kumar, S. K. Bandyopadhyay. ۲۰۱۵. Drought assessment in the Dhar and Mewat Districts of India using meteorological, hydrological and remote-sensing derived indices. *Natural Hazards*, ۷۷ (۲): ۷۳۳-۷۵۱. DOI ۱۰.۱۰۰۷/s۱۱۰۶۹-۰۱۵-۱۶۲۳-z.

WMO (World Meteorological Organization). ۲۰۰۶. Drought Monitoring and Early Warning: Concepts, Progress and Future Challenges. WMO Publication-No. ۱۰۰۶. WMO, Geneva, Switzerland.